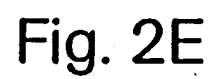
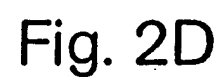
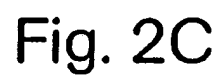
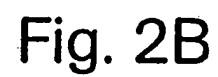
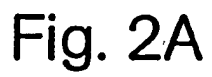


Fig. 1



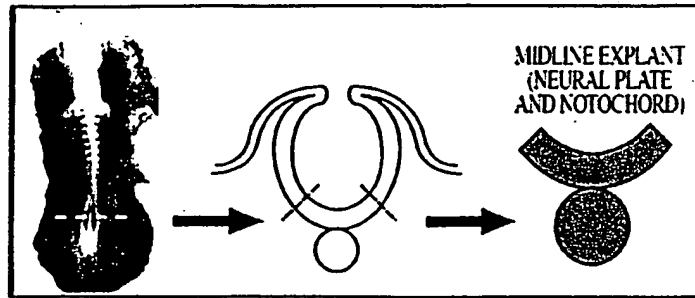


Fig. 3A

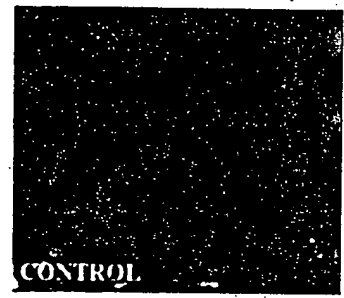


Fig. 3B

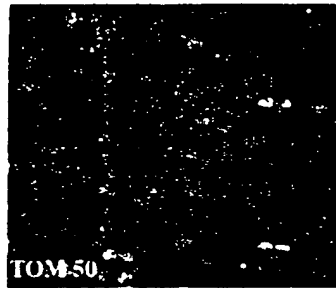


Fig. 3C

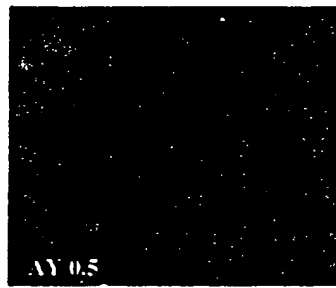


Fig. 3D

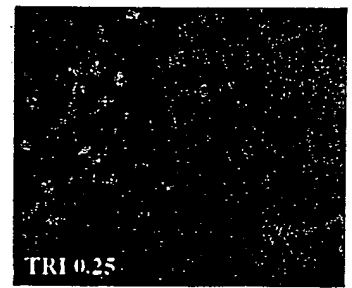


Fig. 3E

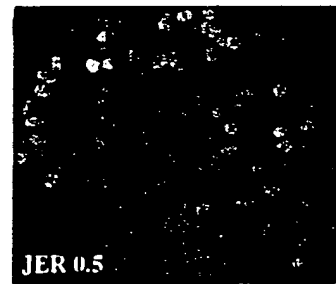


Fig. 3F

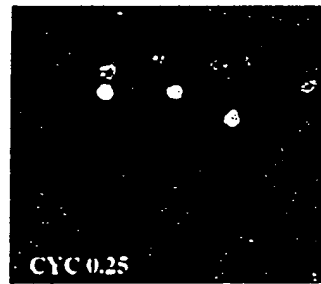


Fig. 3G

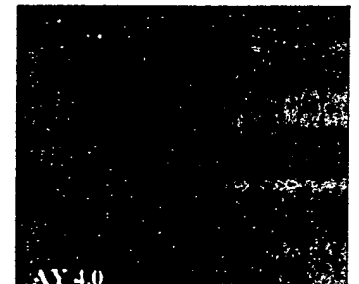


Fig. 3H



Fig. 3I



Fig. 3J

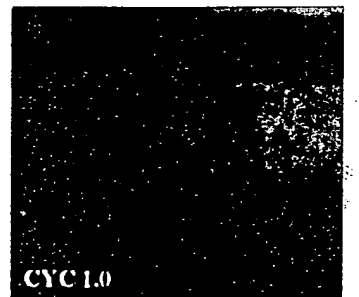


Fig. 3K

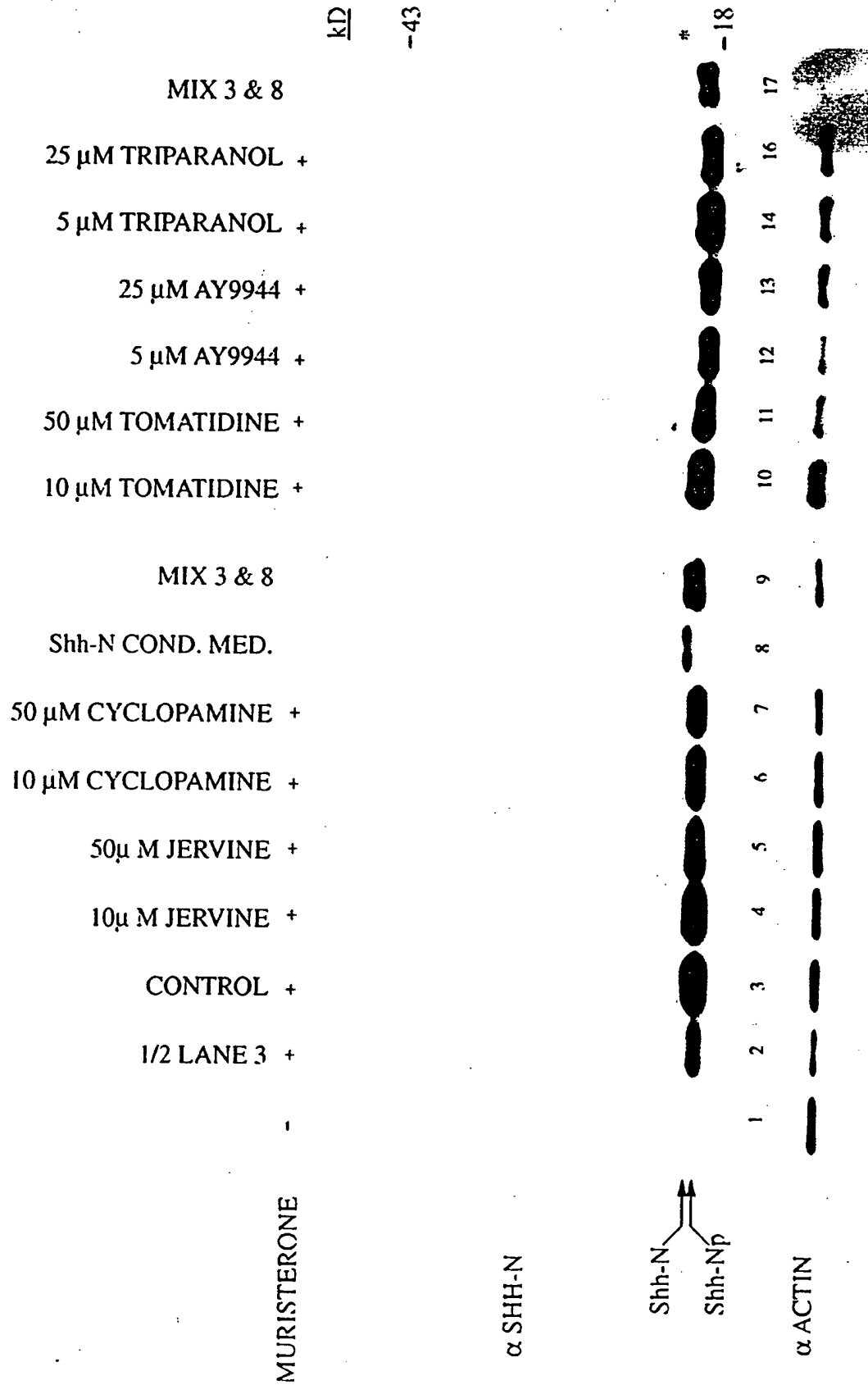


Fig. 4

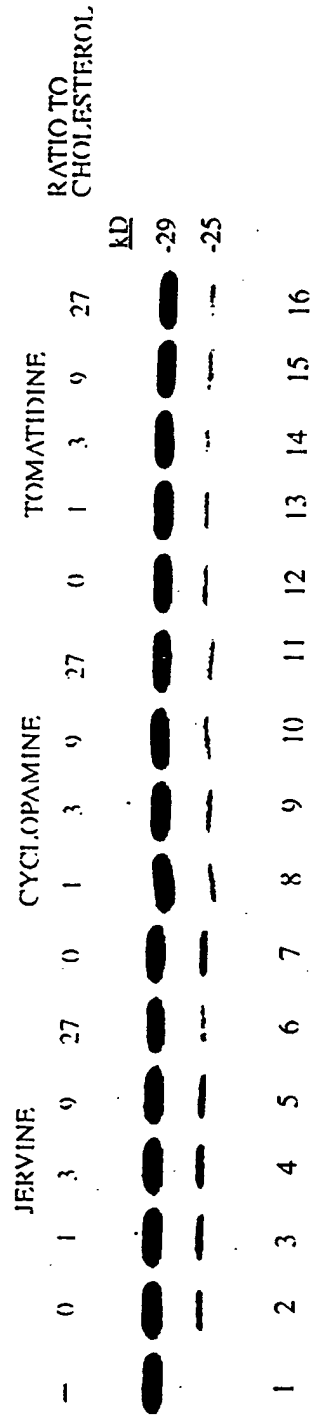


Fig. 5A

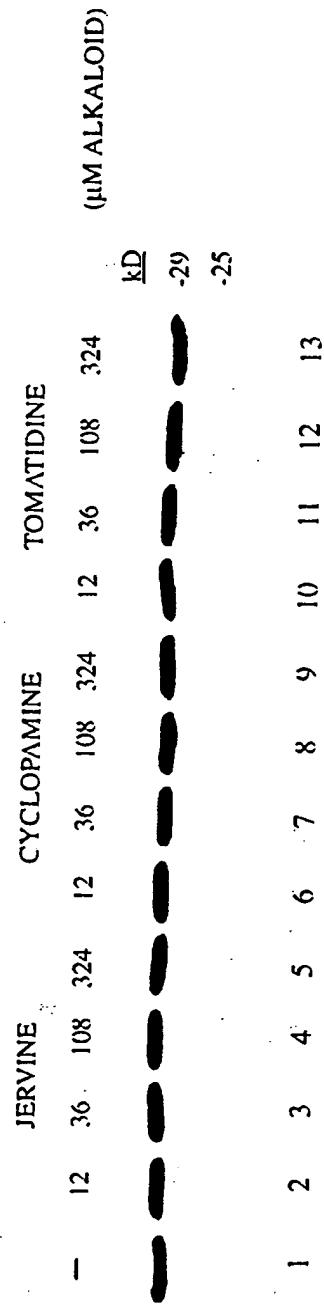


Fig. 5B

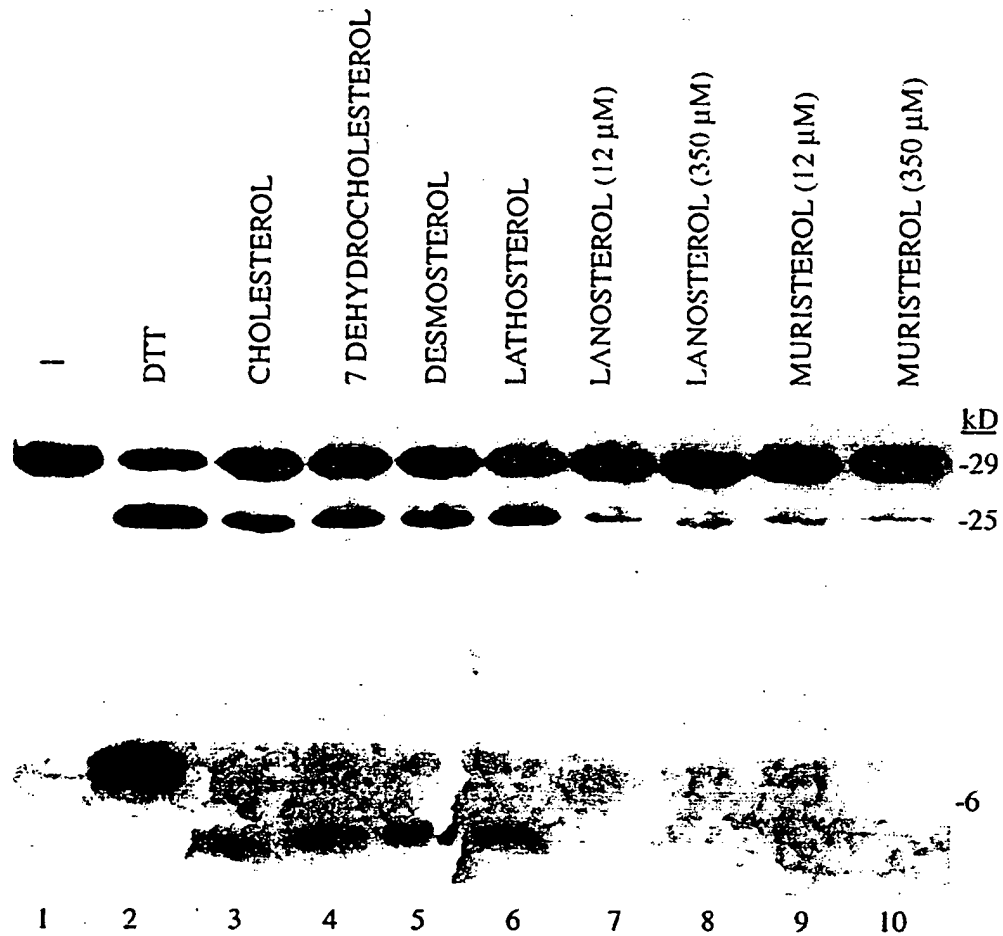


Fig. 5C

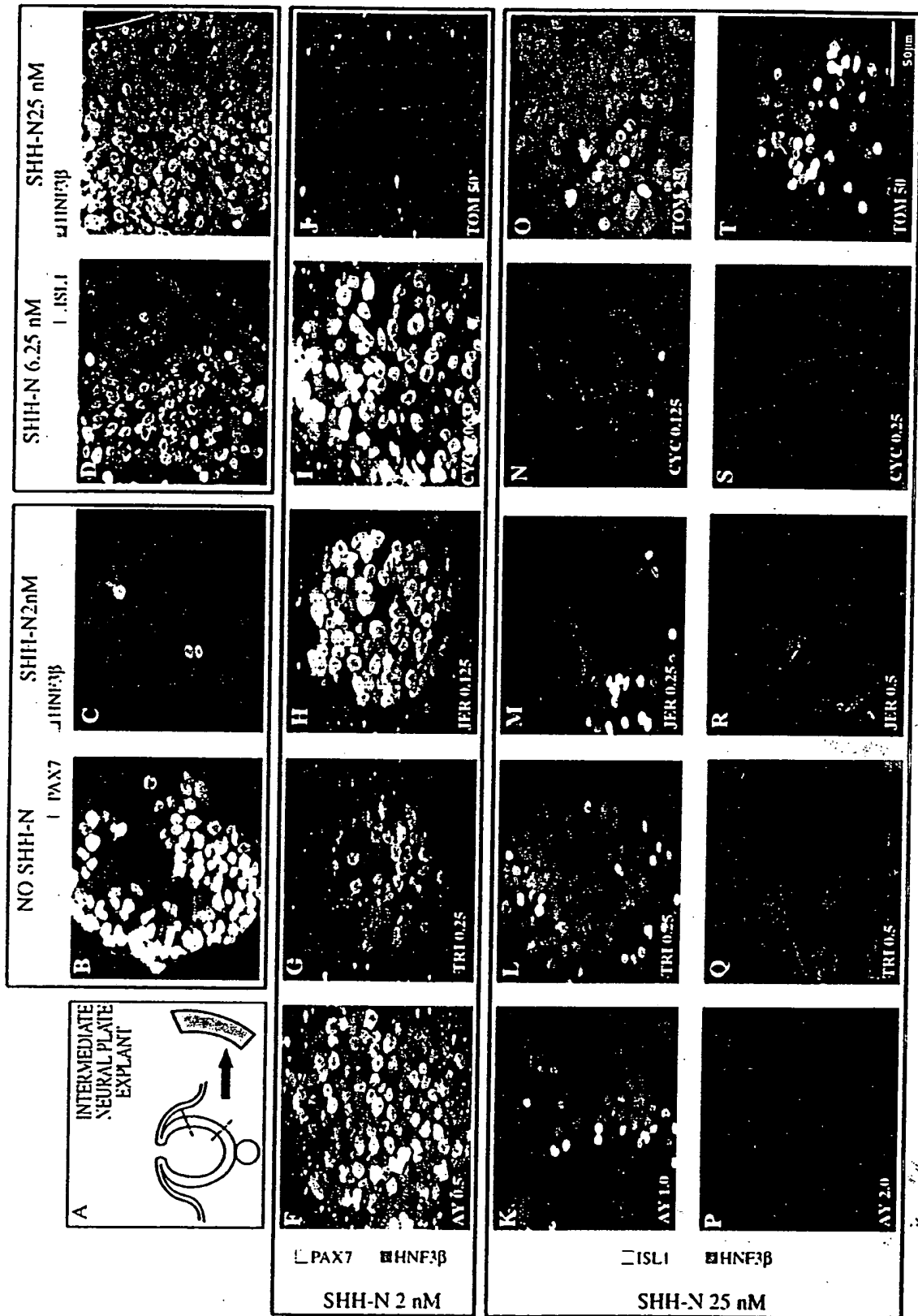


Fig. 6 (A-T)

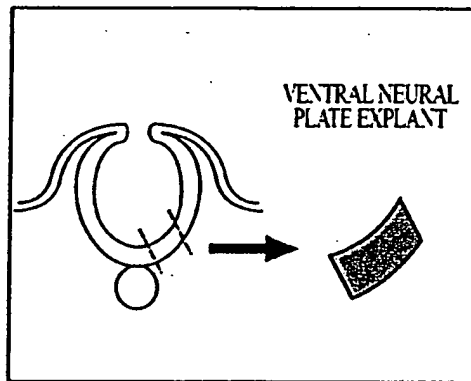


Fig. 7A

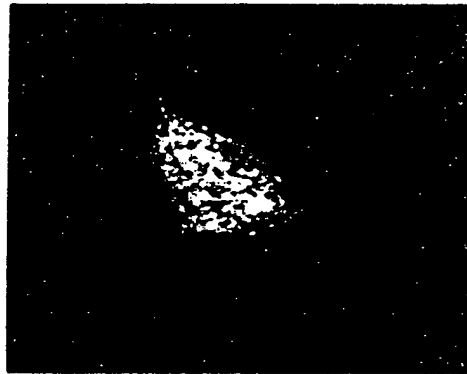


Fig. 7B

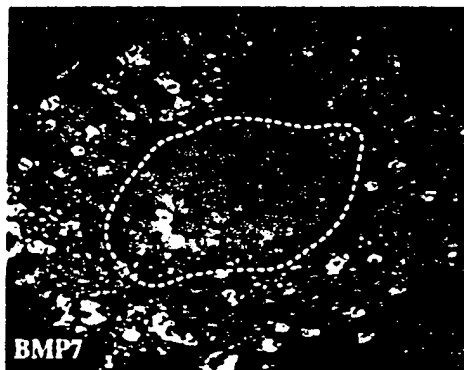


Fig. 7C



Fig. 7D

Fig. 8A

Fig. 8B

Fig. 8C

Fig. 8D

Fig. 8E

Fig. 8F

Fig. 8G

Fig. 8H

Control

Shh -/-

H&E

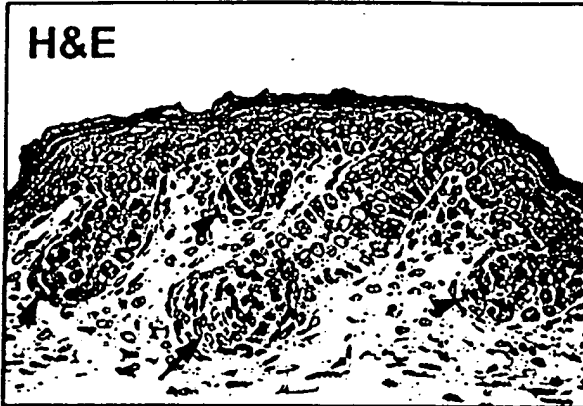


Fig. 9A

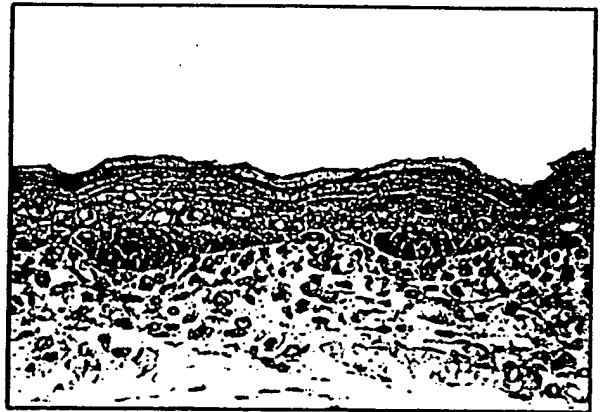


Fig. 9B

Control

Shh -/-

K14

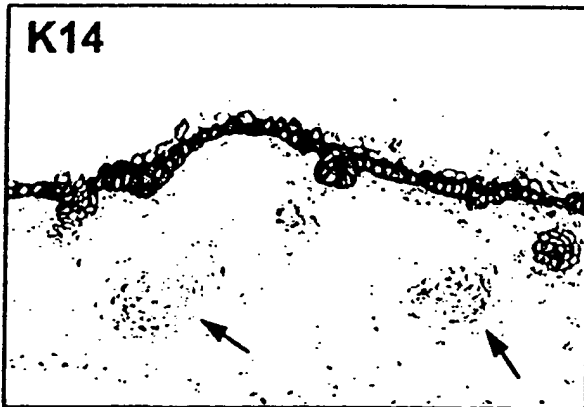


Fig. 9C



Fig. 9D

Control

Shh -/-

K17

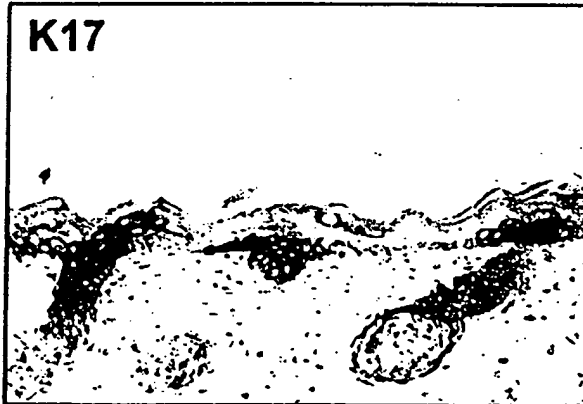


Fig. 9E



Fig. 9F

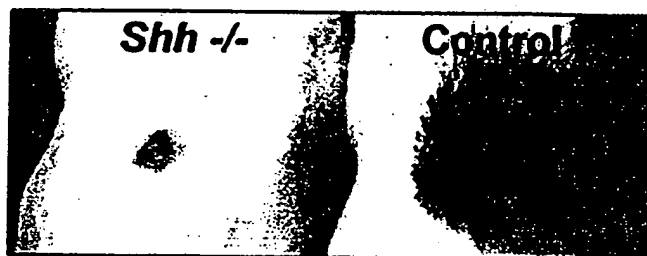


Fig. 10A

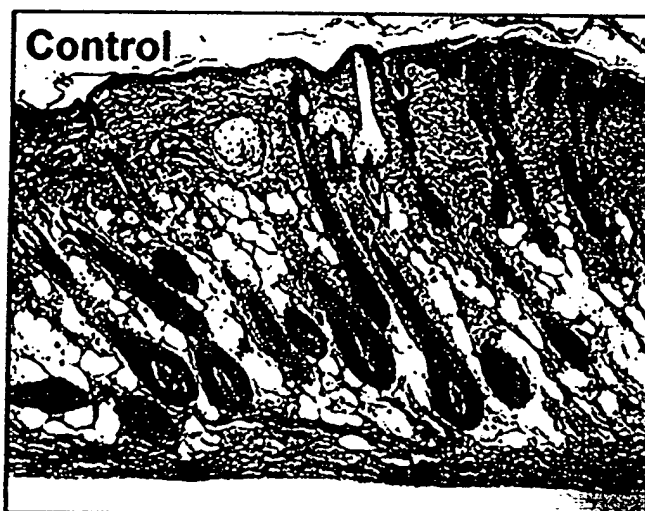


Fig. 10B



Fig. 10C

0080149680280

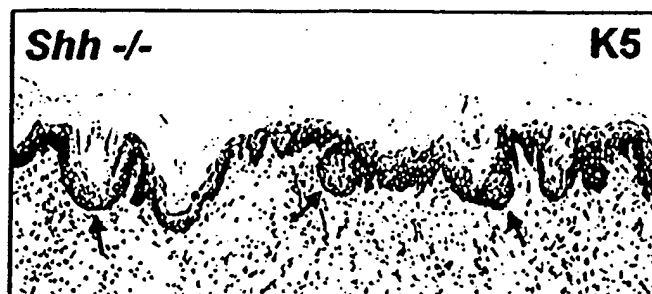


Fig. 10D



Fig. 10E



Fig. 10F

00708954-10800

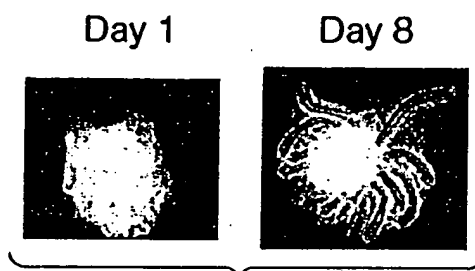


Fig. 11A

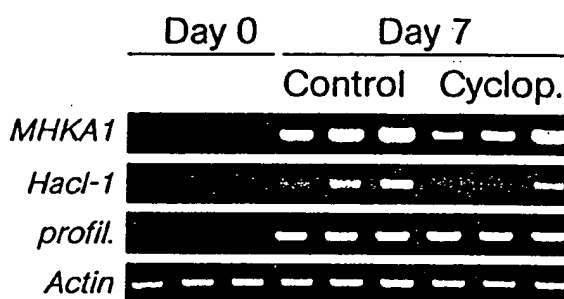


Fig. 11B

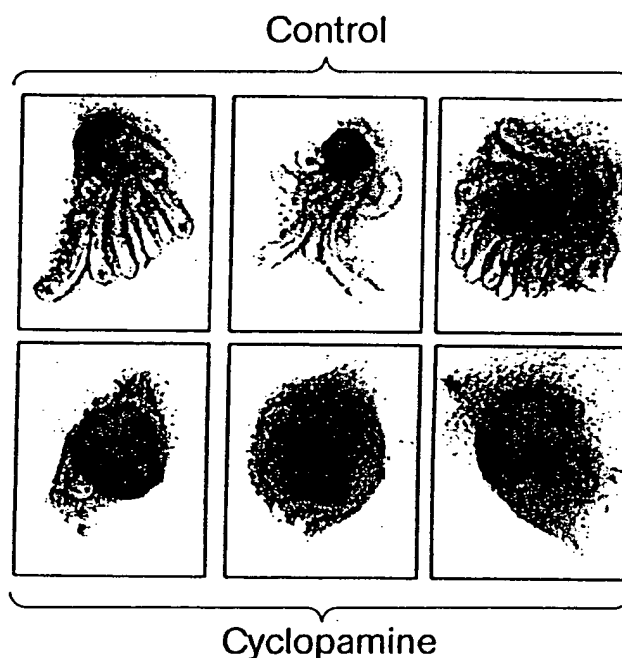


Fig. 11C

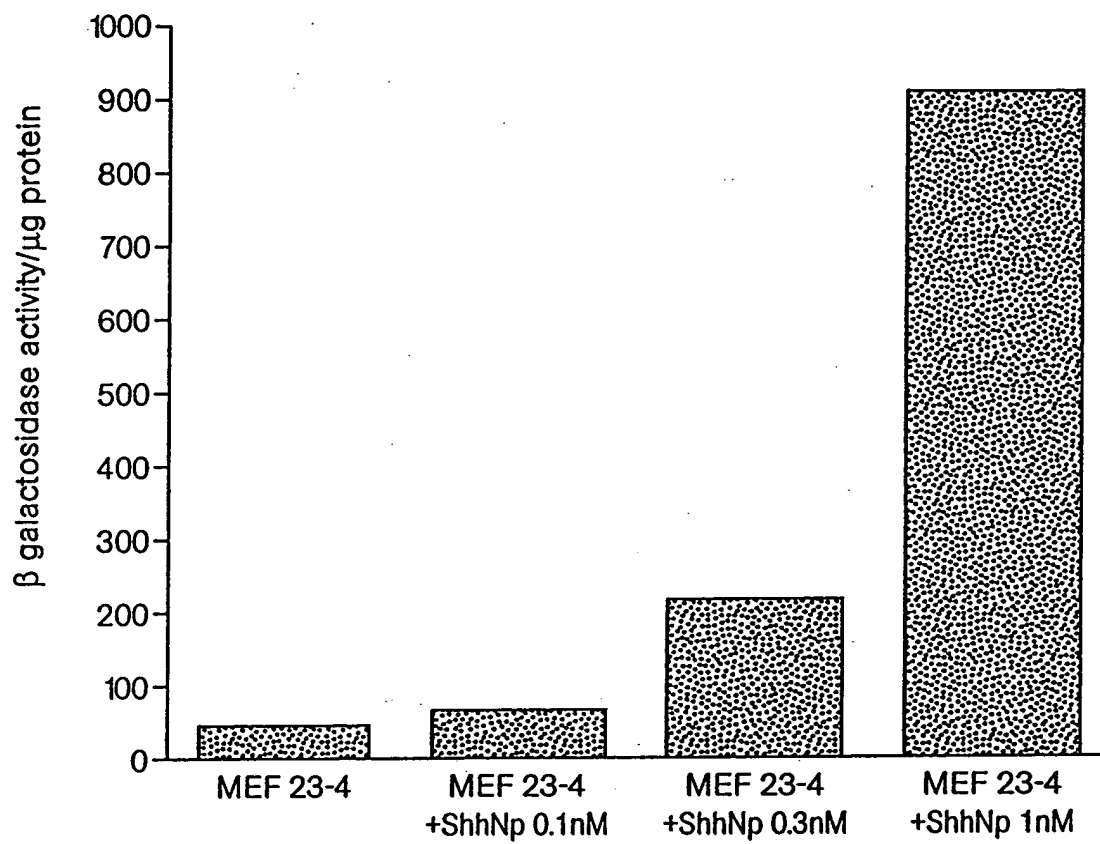


Fig. 12

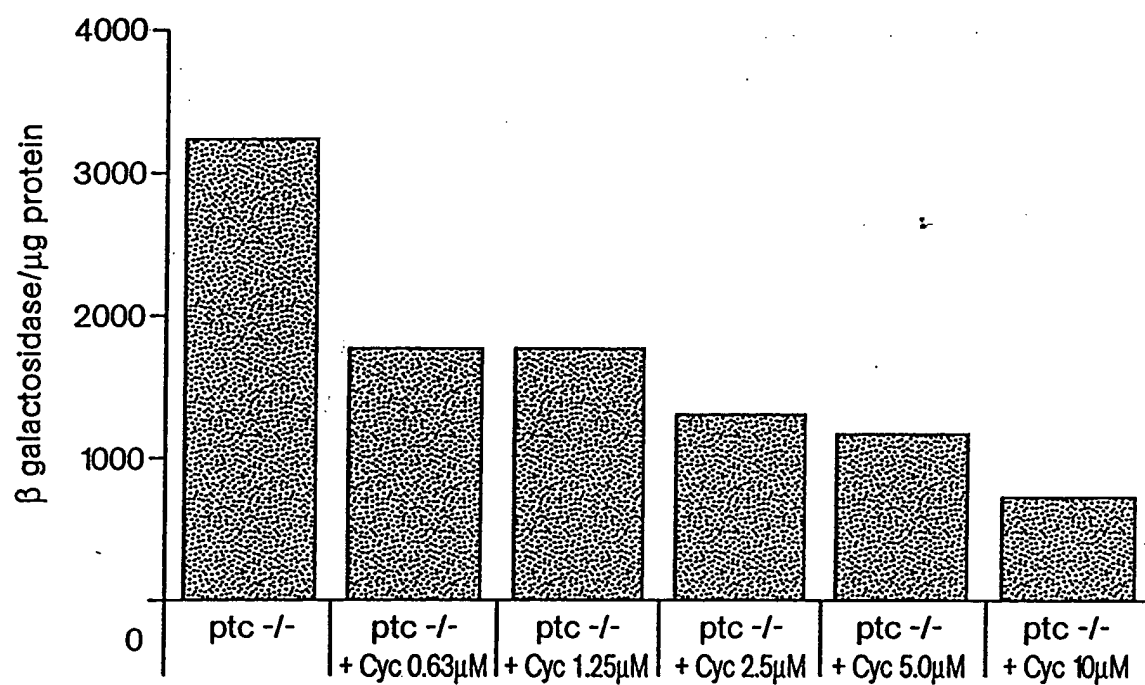


Fig. 13

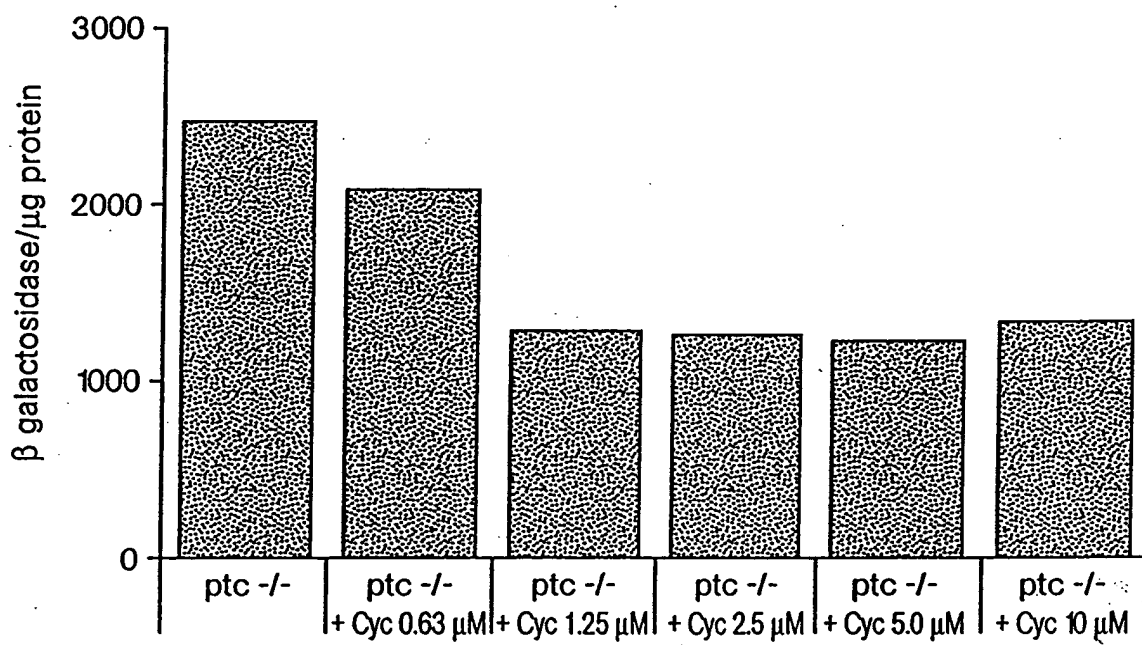


Fig. 14

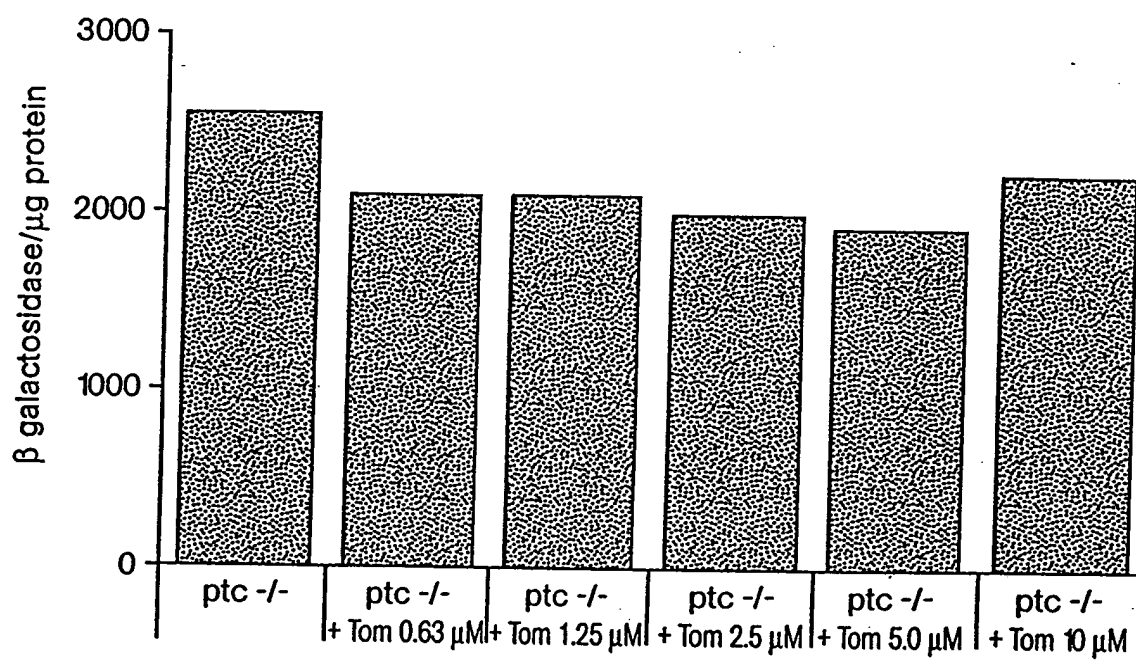


Fig. 15